

INF2310 - Fourier 1

25. mars 2020

- Sinus-funksjon i 1D og 2D
- 2D diskret Fouriertransformasjon (DFT)
- Neste uke:
 - Konvolusjonsteoremet
 - Filtre og filtrering i frekvensdomenet
 - Vindusfunksjoner

- Et gråtonebilde kan representeres ved:
 - Typisk: Matrise av gråtoneintensiteter

- Et gråtonebilde kan representeres ved:
 - Typisk: Matrise av gråtoneintensiteter
 - Fourier: Vektet sum av sinuser og cosinuser med ulike frekvens og orientering

Introduksjon 1

- Et gråtonebilde kan representeres ved:
 - Typisk: Matrise av gråtoneintensiteter
 - Fourier: Vektet sum av sinuser og cosinuser med ulik *frekvens* og *orientering*



- Skifte av representasjon kalles ofte et *basis-skifte*

Hvorfor ønsker vi å skifte basis?

Hvorfor ønsker vi å skifte basis?

- Analyse:
 - Skarphet, orienteringsdominerte objekter, o.l
 - Fjerne/dempe periodisk støy
 - Kompresjon

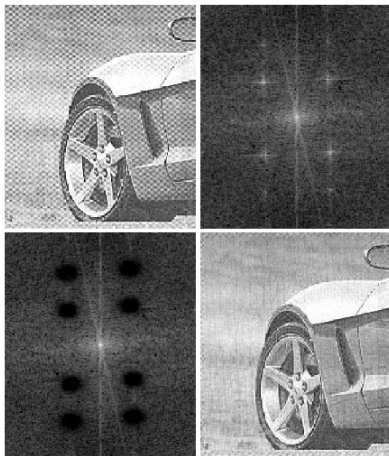
Hvorfor ønsker vi å skifte basis?

- Analyse:
 - Skarphet, orienteringsdominerte objekter, o.l
 - Fjerne/dempe periodisk støy
 - Kompresjon
- Egenskapsuttrekning, f.eks tekstur

Introduksjon 2

Hvorfor ønsker vi å skifte basis?

- Analyse:
 - Skarphet, orienteringsdominerte objekter, o.l
 - Fjerne/dempe periodisk støy
 - Kompresjon
- Egenskapsuttrekning, f.eks tekstur
- Neste uke:
 - Analyse og design av lineære filtre
 - Raskere implementasjon av større konvolusjonsfiltre



Fjerning/demping av periodisk støy, Figure 4.64 i DIP

Funksjonen $\sin(\theta)$

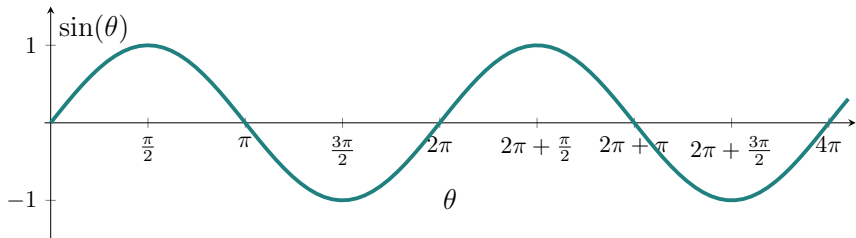
Funksjonen $\sin(\theta)$:

- Svinger mellom 1 og -1 når θ varierer mellom 0 og 2π

Funksjonen $\sin(\theta)$

Funksjonen $\sin(\theta)$:

- Svinger mellom 1 og -1 når θ varierer mellom 0 og 2π
- Svinger på samme måte når θ varierer mellom 2π og 4π , 4π og 6π osv

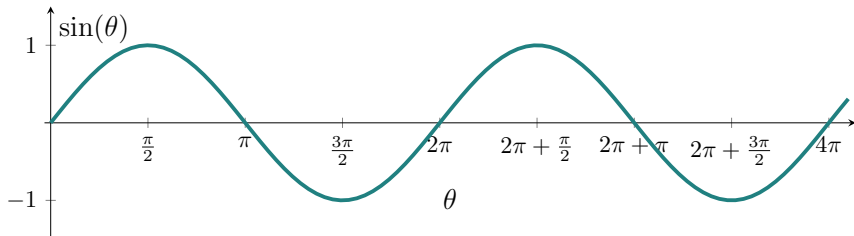


Funksjonen $\sin(\theta)$

Funksjonen $\sin(\theta)$:

- Svinger mellom 1 og -1 når θ varierer mellom 0 og 2π
- Svinger på samme måte når θ varierer mellom 2π og 4π , 4π og 6π osv

→ Funksjonen er **periodisk**



$$y[i] = A \sin \left(2\pi \frac{ui}{N} + \phi \right)$$

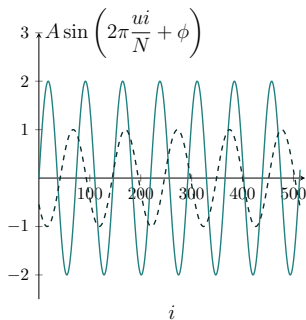
N : Antall sampler

u : Antall hele perioder

ϕ : Horizontal forskyving, *fase*

A : Amplitude

Diskret sinus/cosinus i 1D



$$y[i] = A \sin\left(2\pi \frac{ui}{N} + \phi\right)$$

N : Antall sampler

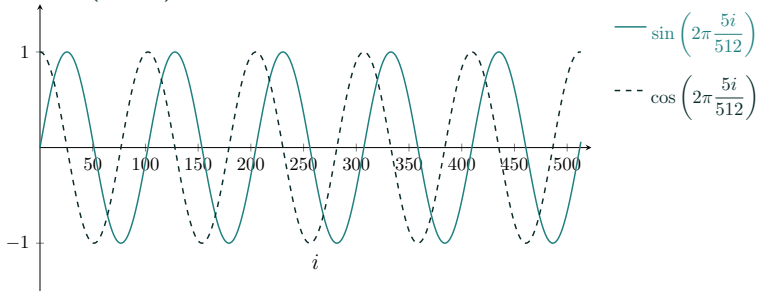
u : Antall hele perioder

ϕ : Horizontal forskyving, *fase*

A : Amplitude

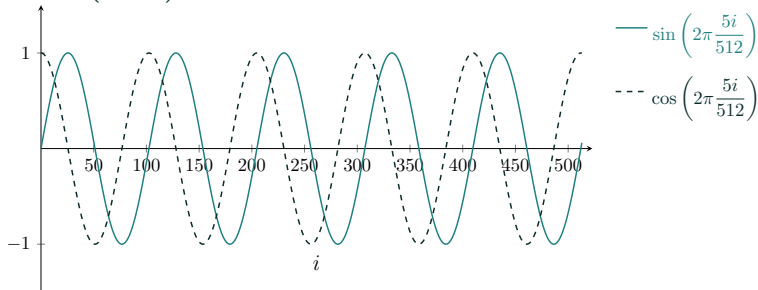
Hva skiller $\sin(\theta)$ fra $\cos(\theta)$?

- $\sin\left(2\pi\frac{ui}{N}\right)$: starter på 0
- $\cos\left(2\pi\frac{ui}{N}\right)$: starter på 1



Hva skiller $\sin(\theta)$ fra $\cos(\theta)$?

- $\sin\left(2\pi\frac{ui}{N}\right)$: starter på 0
- $\cos\left(2\pi\frac{ui}{N}\right)$: starter på 1



$$\cos(\theta) = \sin\left(\theta + \frac{\pi}{2}\right)$$

Bare startpunktet som er forskjellig!

Legge sammen sin og cos

$$A_1 \sin(\theta) + A_2 \cos(\theta) = A \sin(\theta + \phi)$$

der $A = \sqrt{A_1^2 + A_2^2}$ og $\phi = \text{atan}(A_2, A_1)$

Legge sammen sin og cos

$$A_1 \sin(\theta) + A_2 \cos(\theta) = A \sin(\theta + \phi)$$

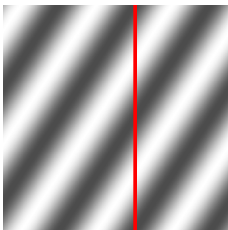
der $A = \sqrt{A_1^2 + A_2^2}$ og $\phi = \text{atan}(A_2, A_1)$

→ Får en sin-funksjon med samme frekvens, men endret amplitude og fase

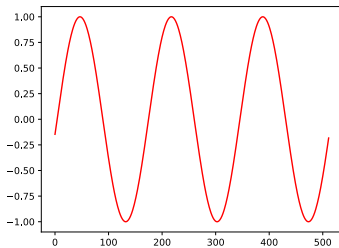
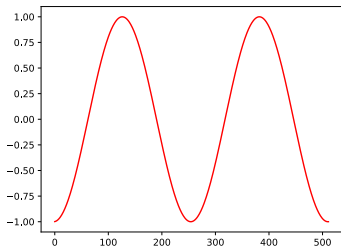
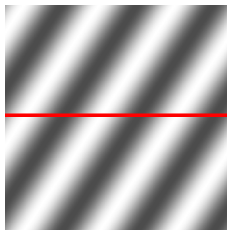
Kan med dette si at enhver sinus-funksjon med gitt frekvens kan dannes ved å legge sammen en vektet sinus-funksjon og vektet cosinus-funksjon med samme frekvens !

Sinus-funksjoner i 2D

Vertikal “kutt”



Horizontal “kutt”



$$f(x, y) = A \sin \left(2\pi \left(\frac{ux}{M} + \frac{vy}{N} \right) + \phi \right)$$

A : Amplitude

u : Vertikal frekvens

v : Horizontal frekvens

ϕ : Faseforskyving

$$f(x, y) = A \sin \left(2\pi \left(\frac{ux}{M} + \frac{vy}{N} \right) + \phi \right)$$

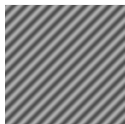
- A : Amplitude
- u : Vertikal frekvens
- v : Horizontal frekvens
- ϕ : Faseforskyving



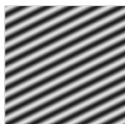
$$A = 50, \\ u = 0, \\ v = 10$$



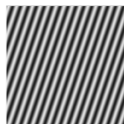
$$A = 20, \\ u = 10, \\ v = 0$$



$$A = 50, \\ u = 10, \\ v = 5$$

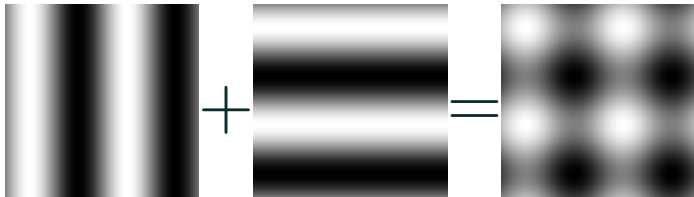


$$A = 100, \\ u = 10, \\ v = 5$$

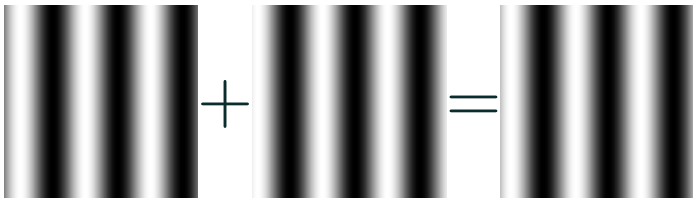


$$A = 100, \\ u = 5, \\ v = 15$$

Eksempel: Sum av 2D sinusfunksjoner



Eksempel: Sum av 2D sinusfunksjoner



Basisbilder: Matriser med en 1-er og resten 0

Typisk represjontasjon av et gråtonebilde:

Vektet sum av matriser med kun ett element lik 1 og resten 0

Basisbilder: Matriser med en 1-er og resten 0

Typisk represjontasjon av et gråtonebilde:

Vektet sum av matriser med kun ett element lik 1 og resten 0

1	0	0	0
0	0	0	0
0	0	0	0
0	0	0	0

0	1	0	0
0	0	0	0
0	0	0	0
0	0	0	0

0	0	1	0
0	0	0	0
0	0	0	0
0	0	0	0

0	0	0	1
0	0	0	0
0	0	0	0
0	0	0	0

0	0	0	0
1	0	0	0
0	0	0	0
0	0	0	0

0	0	0	0
0	1	0	0
0	0	0	0
0	0	0	0

0	0	0	0
0	0	1	0
0	0	0	0
0	0	0	0

0	0	0	0
0	0	0	1
0	0	0	0
0	0	0	0

0	0	0	0
0	0	0	0
1	0	0	0
0	0	0	0

0	0	0	0
0	0	0	0
0	1	0	0
0	0	0	0

0	0	0	0
0	0	0	0
0	0	1	0
0	0	0	0

0	0	0	0
0	0	0	0
0	0	0	0
1	0	0	0

← Eksempel på basisbilder
for 4×4 bilder

Basisbilder: Matriser med en 1-er og resten 0

Typisk represjontasjon av et gråtonebilde:

Vektet sum av matriser med kun ett element lik 1 og resten 0

1 0 0 0	0 1 0 0	0 0 1 0	0 0 0 1
0 0 0 0	0 0 0 0	0 0 0 0	0 0 0 0
0 0 0 0	0 0 0 0	0 0 0 0	0 0 0 0
0 0 0 0	0 0 0 0	0 0 0 0	0 0 0 0
0 0 0 0	0 0 0 0	0 0 0 0	0 0 0 0
1 0 0 0	0 1 0 0	0 0 1 0	0 0 0 1
0 0 0 0	0 0 0 0	0 0 0 0	0 0 0 0
0 0 0 0	0 0 0 0	0 0 0 0	0 0 0 0
0 0 0 0	0 0 0 0	0 0 0 0	0 0 0 0
1 0 0 0	0 1 0 0	0 0 1 0	0 0 0 1
0 0 0 0	0 0 0 0	0 0 0 0	0 0 0 0
0 0 0 0	0 0 0 0	0 0 0 0	0 0 0 0
0 0 0 0	0 0 0 0	0 0 0 0	0 0 0 0
1 0 0 0	0 1 0 0	0 0 1 0	0 0 0 1
0 0 0 0	0 0 0 0	0 0 0 0	0 0 0 0
0 0 0 0	0 0 0 0	0 0 0 0	0 0 0 0
0 0 0 0	0 0 0 0	0 0 0 0	0 0 0 0
1 0 0 0	0 1 0 0	0 0 1 0	0 0 0 1

← Eksempel på basisbilder
for 4×4 bilder

Eksempel:

$$\begin{bmatrix} 2 & 3 & 0 & 5 \\ 1 & 5 & 4 & 0 \\ 6 & 3 & 1 & 2 \\ 5 & 1 & 0 & 7 \end{bmatrix} = 2 \cdot \begin{bmatrix} 1 & 0 & 0 & 0 \\ 0 & 0 & 0 & 0 \\ 0 & 0 & 0 & 0 \\ 0 & 0 & 0 & 0 \end{bmatrix} + 3 \cdot \begin{bmatrix} 0 & 1 & 0 & 0 \\ 0 & 0 & 0 & 0 \\ 0 & 0 & 0 & 0 \\ 0 & 0 & 0 & 0 \end{bmatrix} + \dots + 7 \cdot \begin{bmatrix} 0 & 0 & 0 & 0 \\ 0 & 0 & 0 & 0 \\ 0 & 0 & 0 & 0 \\ 0 & 0 & 0 & 1 \end{bmatrix}$$

Digitale gråtonebilder av størrelse $M \times N$ kan representeres ved en vektet sum av disse $M \times N$ sinus- og cosinus-bildene:

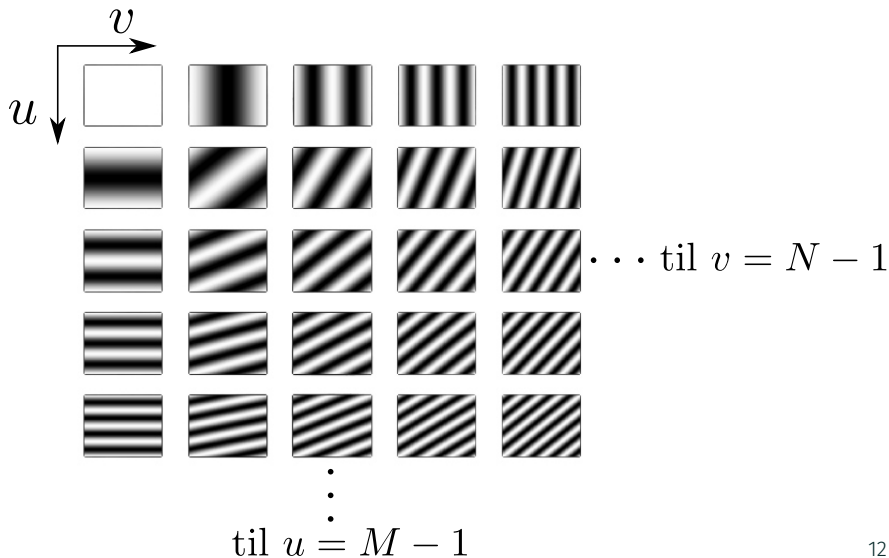
$$\cos\left(2\pi\left(\frac{ux}{M} + \frac{vy}{N}\right)\right) \quad \sin\left(-2\pi\left(\frac{ux}{M} + \frac{vy}{N}\right)\right)$$

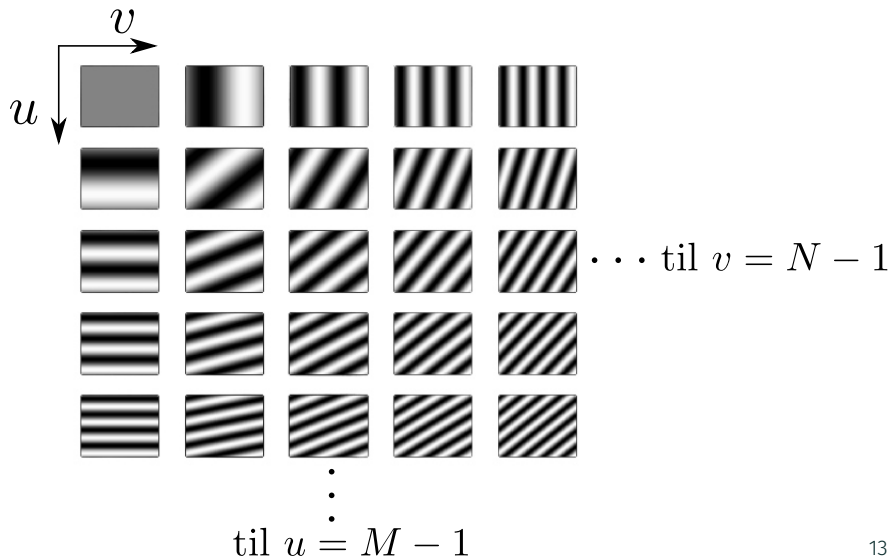
for frekvensene

$$u = 0, 1, \dots, M - 1$$

$$v = 0, 1, \dots, N - 1$$

Basisbilder: Cosinus





Finne bidraget fra et gitt basisbilde

$$\text{sum} \left(\begin{array}{c} \text{[Image of a silver car]} \\ \text{[Image of a black square with a white pixel]} \end{array} \right) \circledast \approx \begin{array}{l} \text{pikselverdi til} \\ \text{bakre del av bil} \end{array}$$

Finne bidraget fra et gitt basisbilde

$$\text{sum} \left(\begin{array}{c} \text{Image of a car} \\ \odot \\ \text{Image of a small white square on a black background} \end{array} \right) \approx \text{pikselverdi til bakre del av bil}$$
$$\text{sum} \left(\begin{array}{c} \text{Image of a car} \\ \odot \\ \text{Image of diagonal black and white stripes} \end{array} \right)$$

Finne bidraget fra et gitt basisbilde

$$\text{sum} \left(\begin{array}{c} \text{Bilde} \\ \odot \\ \text{Basisbilde} \end{array} \right) \approx \text{pikselverdi til bakre del av bil}$$

$$\text{sum} \left(\begin{array}{c} \text{Bilde} \\ \odot \\ \text{Basisbilde} \end{array} \right)$$

The diagram illustrates the process of finding the contribution of a specific basis image to a target image. It shows two rows of operations. The top row shows a grayscale image of a car's rear quarter (the 'Bilde') being element-wise multiplied (indicated by \odot) with a basis image consisting of a single white pixel on a black background. The result is approximately the pixel value of the rear part of the car. The bottom row shows the same car image multiplied by a basis image consisting of diagonal black and white stripes.

Vi finner bidragene ved å ta et indreprodukt mellom basisbildene og bildet

Symmetri i basisbildene

Cosinus



Sinus



Symmetri i basisbildene

Cosinus



Sinus



Antisymmetri i sinus

- Lar $R(u, v)$ være cosinus-bidrag og $I(u, v)$ sinus-bidrag med frekvens u og v til et bilde
- Fasen finner vi ved

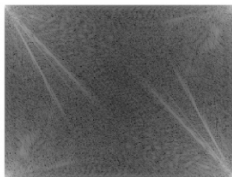
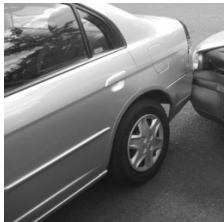
$$\phi(u, v) = \text{atan} \left(\frac{I(u, v)}{R(u, v)} \right)$$

- ... og amplitude ved

$$A(u, v) = \sqrt{R(u, v)^2 + I(u, v)^2}$$

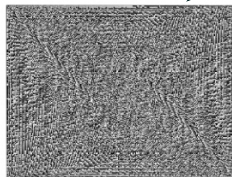
Eksempel: Amplitude og fase

Innbilde



Log av amplituden, **spekteret**

Forteller noe om hvilke frekvenser bildet inneholder



Fasen

Inneholder viktig informasjon!

- Representere resultatet ved komplekse tall

- Representere resultatet ved komplekse tall
- Cosinus-bidragene er i realdelen og sinus-bidragene er i imaginærdelen

- Representere resultatet ved komplekse tall
- Cosinus-bidragene er i realdelen og sinus-bidragene er i imaginærdelen
- Bildet i den nye basisen blir da

$$F(u, v) = R(u, v) + jI(u, v), \quad j = \sqrt{-1}$$

- Representere resultatet ved komplekse tall
- Cosinus-bidragene er i realdelen og sinus-bidragene er i imaginærdelen
- Bildet i den nye basisen blir da

$$F(u, v) = R(u, v) + jI(u, v), \quad j = \sqrt{-1}$$

- Amplitude: modulus (lengde i det komplekse planet)
- Fase: argument (vinkel i det komplekse planet)

2D Fourier - transformasjon:

$$F(u, v) = \sum_{x=0}^{M-1} \sum_{y=0}^{N-1} f(x, y) e^{-2\pi j \left(\frac{ux}{M} + \frac{vy}{N} \right)}$$

2D diskret Fouriertransformasjon (DFT)

2D Fourier - transformasjon:

$$F(u, v) = \sum_{x=0}^{M-1} \sum_{y=0}^{N-1} f(x, y) e^{-2\pi j \left(\frac{ux}{M} + \frac{vy}{N} \right)}$$

Eulers formel:

$$e^{j\theta} = \cos(\theta) + j \sin(\theta)$$

2D diskret Fouriertransformasjon (DFT)

2D Fourier - transformasjon:

$$F(u, v) = \sum_{x=0}^{M-1} \sum_{y=0}^{N-1} f(x, y) e^{-2\pi j \left(\frac{ux}{M} + \frac{vy}{N} \right)}$$

Eulers formel:

$$e^{j\theta} = \cos(\theta) + j \sin(\theta)$$

Ved å bruke formelen, får vi sin- og cos-basisen vi så på tidligere:

$$F(u, v) = \sum_{x=0}^{M-1} \sum_{y=0}^{N-1} f(x, y) \left(\cos \left(2\pi \left(\frac{ux}{M} + \frac{vy}{N} \right) \right) + j \sin \left(-2\pi \left(\frac{ux}{M} + \frac{vy}{N} \right) \right) \right)$$

2D diskret Fouriertransformasjon (DFT): Invers transformasjon

2D Fourier - transformasjon:

$$F(u, v) = \sum_{x=0}^{M-1} \sum_{y=0}^{N-1} f(x, y) e^{-2\pi j \left(\frac{ux}{M} + \frac{vy}{N} \right)}$$

Kan også gå tilbake fra Fourier-transformert bilde til opprinnelig representasjon:

$$f(x, y) = \frac{1}{MN} \sum_{u=0}^{M-1} \sum_{v=0}^{N-1} F(u, v) e^{2\pi j \left(\frac{ux}{M} + \frac{vy}{N} \right)}$$

2D Fourier - transformasjon:

$$F(u, v) = \sum_{x=0}^{M-1} \sum_{y=0}^{N-1} f(x, y) e^{-2\pi j \left(\frac{ux}{M} + \frac{vy}{N} \right)}$$

- $F(u, v)$ er periodisk:

$$F(u, v) = F(u + M, v) = F(u, v + N) = F(u + M, v + N)$$

2D Fourier - transformasjon:

$$F(u, v) = \sum_{x=0}^{M-1} \sum_{y=0}^{N-1} f(x, y) e^{-2\pi j \left(\frac{ux}{M} + \frac{vy}{N} \right)}$$

- $F(u, v)$ er periodisk:

$$F(u, v) = F(u + M, v) = F(u, v + N) = F(u + M, v + N)$$

- Må også anta at bildet er periodisk for at inverstransformasjon skal holde:

$$f(x, y) = f(x + M, y) = f(x, y + N) = f(x + M, y + N)$$

2D Fourier - transformasjon:

$$F(u, v) = \sum_{x=0}^{M-1} \sum_{y=0}^{N-1} f(x, y) e^{-2\pi j \left(\frac{ux}{M} + \frac{vy}{N} \right)}$$

- $F(u, v)$ er periodisk:

$$F(u, v) = F(u + M, v) = F(u, v + N) = F(u + M, v + N)$$

- Må også anta at bildet er periodisk for at inverstransformasjon skal holde:

$$f(x, y) = f(x + M, y) = f(x, y + N) = f(x + M, y + N)$$

- Hvis $f(x, y)$ er reell, er $|F(u, v)| = |F(-u, -v)|$

2D Fourier - transformasjon:

$$F(u, v) = \sum_{x=0}^{M-1} \sum_{y=0}^{N-1} f(x, y) e^{-2\pi j \left(\frac{ux}{M} + \frac{vy}{N} \right)}$$

$$\cdot F(0, 0) = \sum_{x=0}^{M-1} \sum_{y=0}^{N-1} f(x, y)$$

2D Fourier - transformasjon:

$$F(u, v) = \sum_{x=0}^{M-1} \sum_{y=0}^{N-1} f(x, y) e^{-2\pi j \left(\frac{ux}{M} + \frac{vy}{N} \right)}$$

- $F(0, 0) = \sum_{x=0}^{M-1} \sum_{y=0}^{N-1} f(x, y)$
- Shift-teoremet:

$$f(x - x_0, y - y_0) \Leftrightarrow F(u, v) e^{-2\pi j \left(\frac{ux_0}{M} + \frac{vy_0}{N} \right)}$$

2D Fourier - transformasjon:

$$F(u, v) = \sum_{x=0}^{M-1} \sum_{y=0}^{N-1} f(x, y) e^{-2\pi j \left(\frac{ux}{M} + \frac{vy}{N} \right)}$$

- $F(0, 0) = \sum_{x=0}^{M-1} \sum_{y=0}^{N-1} f(x, y)$
- Shift-teoremet:

$$f(x - x_0, y - y_0) \Leftrightarrow F(u, v) e^{-2\pi j \left(\frac{ux_0}{M} + \frac{vy_0}{N} \right)}$$

- 2D DFT er separabelt i to 1D DFT
→ Nødvendig, sammen med FFT-algoritmen, for å effektivt utføre transformasjonen av bilder av viss størrelse

Framvisning av amplitudespekteret

- Vanlig å forskyve spekteret slik at origo, $(u = 0, v = 0)$, ligger midt i bildet
- Går fint å gjøre dette siden $F(u, v)$ er periodisk

Framvisning av amplitudespekteret

- Vanlig å forskyve spekteret slik at origo, $(u = 0, v = 0)$, ligger midt i bildet
- Går fint å gjøre dette siden $F(u, v)$ er periodisk

Vi bytter kvadranter

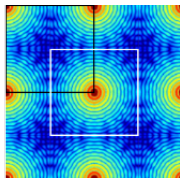
(pre-multipliserer innbildet med $(-1)^{x+y}$ for alle (x, y))

Innbilde



Billedomenet

$|F(u, v)|$



Frekvens- eller Fourierdomenet
Spekteret til bildet

- $|F(u, v)|$ kan ha høye verdier med stor avstand mellom verdiene!

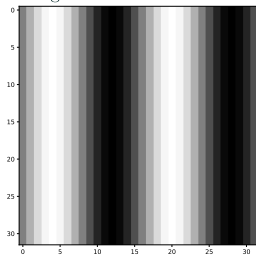
- $|F(u, v)|$ kan ha høye verdier med stor avstand mellom verdiene!
- Vanlig å ta en logaritmisk transformasjon

- $|F(u, v)|$ kan ha høye verdier med stor avstand mellom verdiene!
- Vanlig å ta en logaritmisk transformasjon
 - Vi er mer interessert i størrelsesforhold i amplitude mellom frekvenser

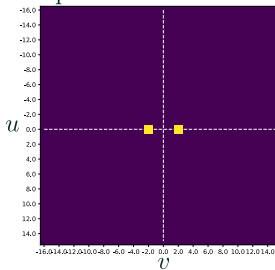
- $|F(u, v)|$ kan ha høye verdier med stor avstand mellom verdiene!
- Vanlig å ta en logaritmisk transformasjon
 - Vi er mer interessert i størrelsesforhold i amplitude mellom frekvenser
 - $g(u, v) = \log(|F(u, v)| + 1)$, som eventuelt skaleres til å ha gråtoner mellom 0 og 255

Eksempel: Fourier-transformasjon av sinus-bilder

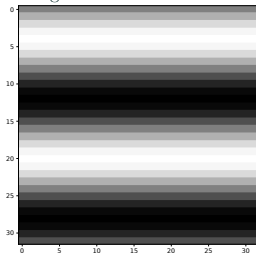
Sinus med vertikal frekvens $u = 0$
og horisontal frekvens $v = 2$



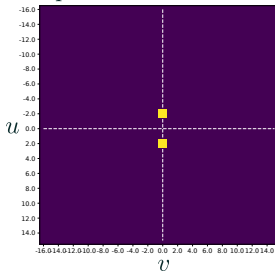
Spekter



Sinus med vertikal frekvens $u = 2$
og horisontal frekvens $v = 0$

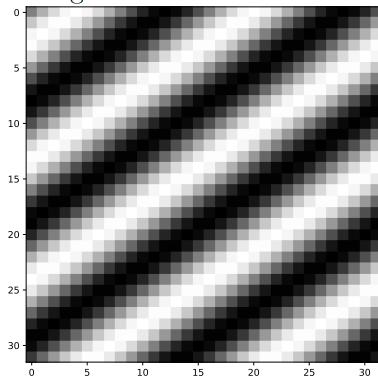


Spekter

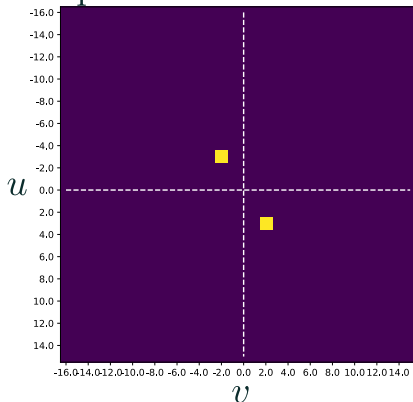


Eksempel: Fourier-transformasjon av skrå sinus-bilder

Sinus med vertikal frekvens $u = 3$
og horisontal frekvens $v = 2$

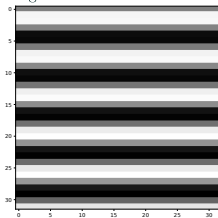


Spekter

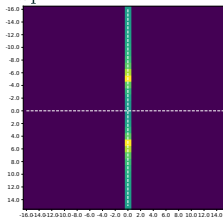


Eksempel: Diskontinuitet

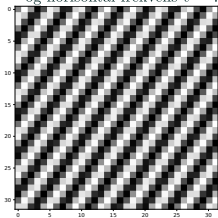
Sinus med vertikal frekvens $u = 5.3$
og horisontal frekvens $v = 0$



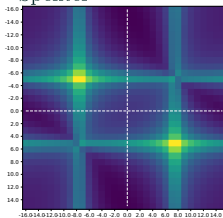
Spekter



Sinus med vertikal frekvens $u = 5.3$
og horisontal frekvens $v = 7.5$

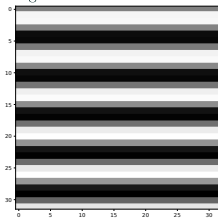


Spekter

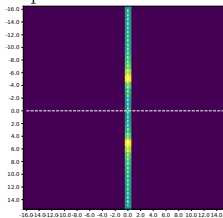


Eksempel: Diskontinuitet

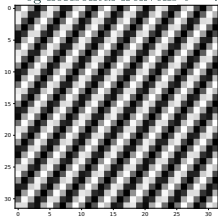
Sinus med vertikal frekvens $u = 5.3$
og horisontal frekvens $v = 0$



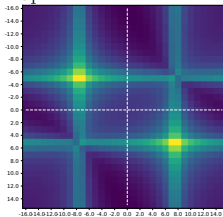
Spekter



Sinus med vertikal frekvens $u = 5.3$
og horisontal frekvens $v = 7.5$



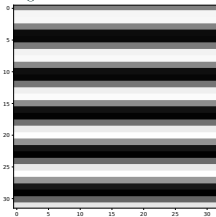
Spekter



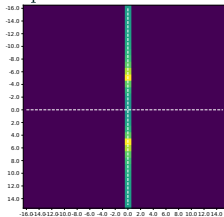
Husk: bildet antas å være periodisk!

Eksempel: Diskontinuitet

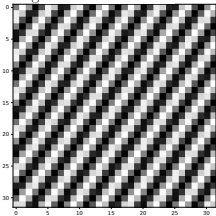
Sinus med vertikal frekvens $u = 5.3$
og horisontal frekvens $v = 0$



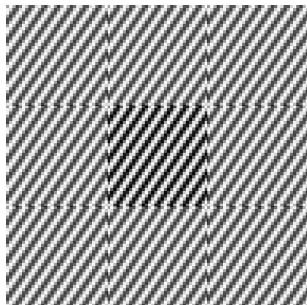
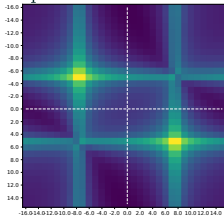
Spekter



Sinus med vertikal frekvens $u = 5.3$
og horisontal frekvens $v = 7.5$



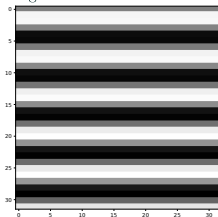
Spekter



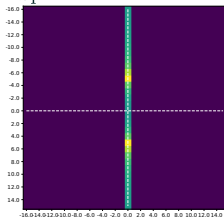
Husk: bildet antas å være periodisk!

Eksempel: Diskontinuitet

Sinus med vertikal frekvens $u = 5.3$
og horisontal frekvens $v = 0$

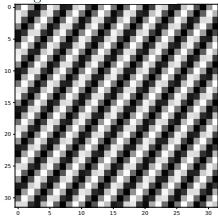


Spekter

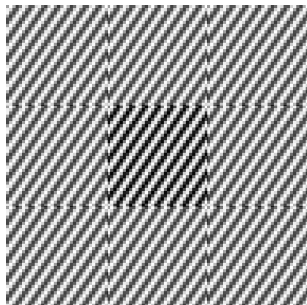
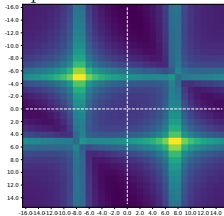


Diskontinuiteter i bildene på grunn
av implisitt periodisitet!

Sinus med vertikal frekvens $u = 5.3$
og horisontal frekvens $v = 7.5$



Spekter



Husk: bildet antas å være periodisk!

Eksempel: Vanlige objektformer

Examples of the Fourier transform for other simple shapes are shown below

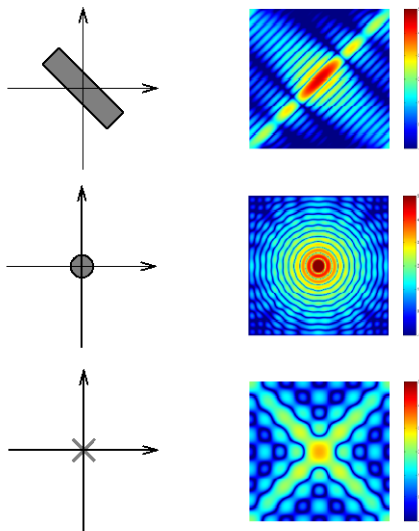
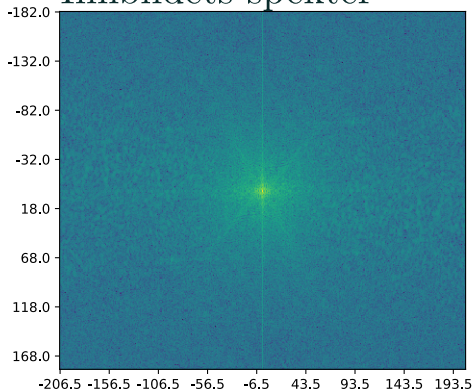


Figure 7-4: Fourier Transforms of Some Simple Shapes

Innbilde



Innbildets spekter

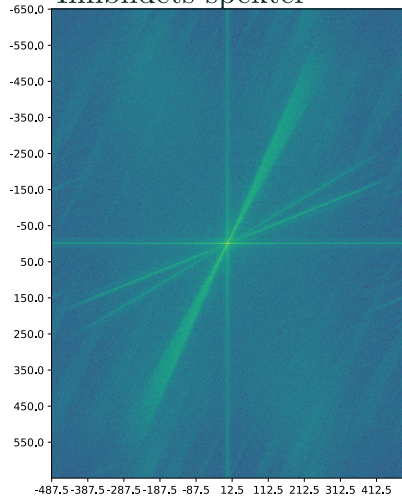


Eksempel: Retningsdominert bilde

Innbilde



Innbildets spekter

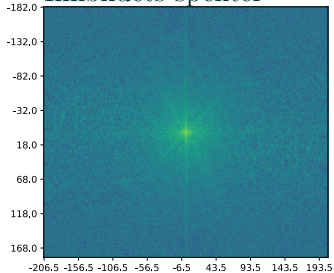


Eksempel: Lav oppløsning og få detaljer

Innbilde



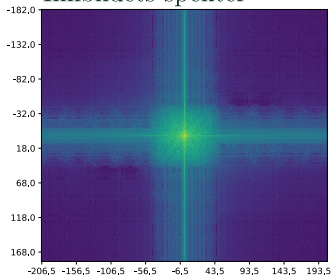
Innbildets spekter



Innbilde



Innbildets spekter



- Vanligvis størst bidrag i spekteret for lave verdier av u og v
- Bidrag langs u - og v -aksen fordi bildet er implisitt periodisk og har derfor diskontinuitet langs kantene
- Linjestructurer i en gitt retning i billedomenet har linjestructur normalt på retningen i Fourierdomenet

Enda fler observasjoner

- Skarp kant
 - Tilsvarer sum av mange sinusfunksjoner
 - Mange Fourierkoeffisienter er ulik 0
 - Bredt bånd i Fourier-domenet

Enda fler observasjoner

- Skarp kant
 - Tilsvarer sum av mange sinusfunksjoner
 - Mange Fourierkoeffisienter er ulik 0
 - Bredt bånd i Fourier-domenet
- Uskarp kant
 - Færre sinusfunksjoner
 - Smalere bånd i Fourier-domenet



Bilde Spekter



Enda fler observasjoner

- Skarp kant
 - Tilsvarende sum av mange sinusfunksjoner
 - Mange Fourierkoeffisienter er ulike 0
 - Bredt bånd i Fourier-domenet
- Uskarp kant
 - Færre sinusfunksjoner
 - Smalere bånd i Fourier-domenet
- Generelt,



Bilde Spekter



Enda fler observasjoner

- Skarp kant
 - Tilsvarende sum av mange sinusfunksjoner
 - Mange Fourierkoeffisienter er ulike 0
 - Bredt bånd i Fourier-domenet
- Uskarp kant
 - Færre sinusfunksjoner
 - Smalere bånd i Fourier-domenet
- Generelt,
 - Smal struktur i billedet: Bred struktur i Fourier-domenet



Bilde Spekter



Enda fler observasjoner

- Skarp kant
 - Tilsvarende sum av mange sinusfunksjoner
 - Mange Fourierkoeffisienter er ulike 0
 - Bredt bånd i Fourier-domenet
- Uskarp kant
 - Færre sinusfunksjoner
 - Smalere bånd i Fourier-domenet
- Generelt,
 - Smal struktur i billedet: Bred struktur i Fourier-domenet
 - Bred struktur i billedet: Smal struktur i Fourier-domenet



Bilde Spekter



Enda fler observasjoner

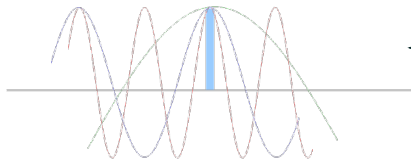
- Skarp kant
 - Tilsvarende sum av mange sinusfunksjoner
 - Mange Fourierkoeffisienter er ulike 0
 - Bredt bånd i Fourier-domenet
- Uskarp kant
 - Færre sinusfunksjoner
 - Smalere bånd i Fourier-domenet
- Generelt,
 - Smal struktur i bildedomenet: Bred struktur i Fourier-domenet
 - Bred struktur i bildedomenet: Smal struktur i Fourier-domenet
 - Linjestruktur i retning θ i bildedomenet: Linjestruktur normalt på $(\theta + 90^\circ)$ i Fourier-domenet



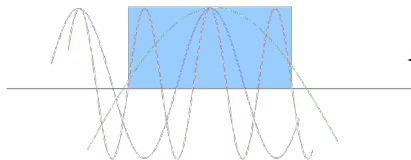
Bilde Spekter



Intuisjon: form i bildedomenet og i frekvensdomenet



← Høyt utslag på
alle tre frekvensene



← Høyt utslag på
kun på laveste frekvens

- Beregning av $F(u, v)$ for én (u, v) : $\mathcal{O}(M \times N)$

- Beregning av $F(u, v)$ for én (u, v) : $\mathcal{O}(M \times N)$
- Beregning av $F(u, v)$ for hele bildet: $\mathcal{O}\left((M \times N)^2\right)$

- Beregning av $F(u, v)$ for én (u, v) : $\mathcal{O}(M \times N)$
- Beregning av $F(u, v)$ for hele bildet: $\mathcal{O}\left((M \times N)^2\right)$
- 2D Fast Fouriertransform (2D FFT):
 - Benytter at Fouriertransformasjonen er separabel i to 1D transformasjoner

- Beregning av $F(u, v)$ for én (u, v) : $\mathcal{O}(M \times N)$
- Beregning av $F(u, v)$ for hele bildet: $\mathcal{O}\left((M \times N)^2\right)$
- 2D Fast Fouriertransform (2D FFT):
 - Benytter at Fouriertransformasjonen er separabel i to 1D transformasjoner
 - Bruker hele bilder eller delbilder med størrelse 2^k , k heltall

- Beregning av $F(u, v)$ for én (u, v) : $\mathcal{O}(M \times N)$
- Beregning av $F(u, v)$ for hele bildet: $\mathcal{O}\left((M \times N)^2\right)$
- 2D Fast Fouriertransform (2D FFT):
 - Benytter at Fouriertransformasjonen er separabel i to 1D transformasjoner
 - Bruker hele bilder eller delbilder med størrelse 2^k , k heltall
 - Har orden $\mathcal{O}((M \times N) \times \log_2(M \times N))$

Beregn DFT og invers DFT:

$$F = \text{fft2}(f)$$

$$f = \text{ifft2}(F)$$

Beregn DFT og invers DFT:

$$F = \text{fft2}(f)$$

$$f = \text{ifft2}(F)$$

Hent ut real- og imaginærdel:

$$F_r = \text{real}(F)$$

$$F_i = \text{imag}(F)$$

Beregn DFT og invers DFT:

$$F = \text{fft2}(f)$$

$$f = \text{ifft2}(F)$$

Hent ut real- og imaginærdel:

$$F_r = \text{real}(F)$$

$$F_i = \text{imag}(F)$$

Hent ut spekter og fase:

$$F_s = \text{abs}(F)$$

$$F_i = \text{angle}(F)$$

Fourier-transformasjon

Beregn DFT og invers DFT:

$$F = \text{fft2}(f)$$

$$f = \text{ifft2}(F)$$

Hent ut real- og imaginærdel:

$$F_r = \text{real}(F)$$

$$F_i = \text{imag}(F)$$

Hent ut spekter og fase:

$$F_s = \text{abs}(F)$$

$$F_i = \text{angle}(F)$$

Vis fram spekter ved bruk av `fftshift` for å flytte på kvadranter:

$$\text{imshow}(\text{fftshift}(\log(|F| + 1)))$$

Oppsummering

- Sinusfunksjoner
 - Frekvens/periode
 - Amplitude
 - Fase

- Sinusfunksjoner
 - Frekvens/periode
 - Amplitude
 - Fase
 - Dekomponere $A \sin(\theta + \phi)$ i en sin- og cos-komponent

- Sinusfunksjoner
 - Frekvens/periode
 - Amplitude
 - Fase
 - Dekomponere $A \sin(\theta + \phi)$ i en sin- og cos-komponent
 - 1D og 2D varianter
- Diskret Fourier-transformasjon
 - Bilde beskrevet med cos- og sin-basisbilder

- Sinusfunksjoner
 - Frekvens/periode
 - Amplitude
 - Fase
 - Dekomponere $A \sin(\theta + \phi)$ i en sin- og cos-komponent
 - 1D og 2D varianter
- Diskret Fourier-transformasjon
 - Bilde beskrevet med cos- og sin-basisbilder
 - Representasjon ved komplekse tall
 - cos- og sin-ledd som hhv. reell- og imaginær-komponent

- Sinusfunksjoner
 - Frekvens/periode
 - Amplitude
 - Fase
 - Dekomponere $A \sin(\theta + \phi)$ i en sin- og cos-komponent
 - 1D og 2D varianter
- Diskret Fourier-transformasjon
 - Bilde beskrevet med cos- og sin-basisbilder
 - Representasjon ved komplekse tall
 - cos- og sin-ledd som hhv. reell- og imaginær-komponent
 - Implisitt periodisitet i bildet
 - Utslag i diskontinuitet, “ekstra” frekvenser

- Sinusfunksjoner
 - Frekvens/periode
 - Amplitude
 - Fase
 - Dekomponere $A \sin(\theta + \phi)$ i en sin- og cos-komponent
 - 1D og 2D varianter
- Diskret Fourier-transformasjon
 - Bilde beskrevet med cos- og sin-basisbilder
 - Representasjon ved komplekse tall
 - cos- og sin-ledd som hhv. reell- og imaginær-komponent
 - Implisitt periodisitet i bildet
 - Utslag i diskontinuitet, “ekstra” frekvenser
 - Fremvisning av spekteret $|F(u, v)|$

- Sinusfunksjoner
 - Frekvens/periode
 - Amplitude
 - Fase
 - Dekomponere $A \sin(\theta + \phi)$ i en sin- og cos-komponent
 - 1D og 2D varianter
- Diskret Fourier-transformasjon
 - Bilde beskrevet med cos- og sin-basisbilder
 - Representasjon ved komplekse tall
 - cos- og sin-ledd som hhv. reell- og imaginær-komponent
 - Implisitt periodisitet i bildet
 - Utslag i diskontinuitet, “ekstra” frekvenser
 - Fremvisning av spekteret $|F(u, v)|$
 - Observasjoner